

2.9

a)

$$t = \frac{500 * 1024 * 1024 * (8 + 2)}{3 * 10^6} = 1747.62s$$

b)

$$t = \frac{500 * 1024 * 1024 * (8 + 2)}{3 * 10^{10}} = 0.17s$$

2.14

a) 不是 4 邻接

b) 是 8 邻接

c) 是 m 邻接

2.18

a)

4 通路：不存在

8 通路：4

m 通路：5

b)

4 通路：6

8 通路：4

m 通路：6

3.1

设 f 为灰度变换函数，且原图中，灰度值为 L_i 的像素频率为 p_i ，转换后的灰度

值 L_i' 为 $\left[(L - 1) \sum_{n=0}^i p_n \right]$

即

$$f(L) = \left[(L - 1) \sum_{n=0}^i p_n \right]$$

，其中 $[]$ 为取整符号。

3.5

1)

将低有效比特平面设为 0，会使得图像的细节信息有损失，但对总体信息影响

不大，会使得直方图整体像素略偏小，比原有直方图左移。

2)

将高有效比特平面设为 0，则会损失较多的总体信息，并且使得像素灰度值范围缩减一半，直方图中低灰度占比大大增高。

3.29

1) 忽略边界效应，考虑一个 3×3 的均值滤波器，每次滤波使得像素中心点是周围九格的均值，反复应用该滤波器将使得整张图所有像素均为同一值，该值应为原图的平均灰度值

2) 考虑边界效应，由于在边界不停补 0，最终使图像的值均为 0

3.31

设核为 $K_{h \times w}$ ，被处理图像周围用零补全后记为 $A_{m \times n}$ ，记

$$\sum_{p=1, q=1}^{h, w} K_{p, q} = 1$$

$$\sum_{i=1, j=1}^{m, n} A_{i, j} = S$$

命题等价于

$$S = \sum_{i=1, j=1, p=1, q=1}^{m, n, h, w} A_{i+p, j+q} K_{p, q}$$

右式展开为

$$\sum_{i=1, j=1, p=1, q=1}^{m, n, h, w} A_{i+p, j+q} K_{p, q} = \sum_{p=1, q=1}^{h, w} K_{p, q} \sum_{i=1, j=1}^{m, n} A_{i+p, j+q}$$

$p \in [1, h]$ 且 $q \in [1, w]$ 时，有：

$$\sum_{i=1, j=1}^{m, n} A_{i+p, j+q} = \sum_{i=1, j=1}^{m, n} A_{i, j} = S$$

可得：

$$\sum_{p=1, q=1}^{h, w} K_{p, q} \times S = S$$

证毕

3.37

- 1) 将其中元素进行排序，取第 $\text{int}(\frac{n^2}{2})$ 个元素
- 2) 在 1)中对每个数据进行下标，记录其所属列数，剔除 1)中第一列元素，对新加入的一列元素进行排序。

3.40

中心为-4 的拉普拉斯让图像在水平与竖直两个方向产生了锐化效果；而中心为-8 的拉普拉斯在对角线方向上产生了额外的锐化效果。

4.38

$$1. (f \star h)(x, y) \Leftrightarrow (F \cdot H)(u, v)$$

$$\begin{aligned} \mathcal{F}(f(x, y) \star h(x, y)) &= \sum_{x=0}^{M-1} \sum_{y=0}^{N-1} [(f(x, y) \star h(x, y)) e^{-j2\pi(\frac{ux}{M} + \frac{vy}{N})}] \\ &= \sum_{x=0}^{M-1} \sum_{y=0}^{N-1} \left[\left(\sum_{m=0}^{M-1} \sum_{n=0}^{N-1} f(m, n) h(x-m, y-n) \right) e^{-j2\pi(\frac{ux}{M} + \frac{vy}{N})} \right] \\ &= \sum_{m=0}^{M-1} \sum_{n=0}^{N-1} \left[f(m, n) \left(\sum_{x=0}^{M-1} \sum_{y=0}^{N-1} h(x-m, y-n) e^{-j2\pi(\frac{ux}{M} + \frac{vy}{N})} \right) \right] \\ &= \sum_{m=0}^{M-1} \sum_{n=0}^{N-1} [f(m, n) \mathcal{F}(h(x-m, y-n))] \\ &= \sum_{m=0}^{M-1} \sum_{n=0}^{N-1} [f(m, n) H(u, v) e^{-j2\pi(\frac{um}{M} + \frac{vn}{N})}] \\ &= F(u, v) H(u, v) \end{aligned}$$

$$2. (f \cdot h)(x, y) \Leftrightarrow (1/MN)[(F \star H)(u, v)]$$

$$\begin{aligned} \mathcal{F}^{-1}((1/MN)[(F \star H)(u, v)]) &= \frac{1}{(MN)^2} \sum_{u=0}^{M-1} \sum_{v=0}^{N-1} [(F(u, v) \star H(u, v)) e^{j2\pi(\frac{ux}{M} + \frac{vy}{N})}] \\ &= \frac{1}{(MN)^2} \sum_{u=0}^{M-1} \sum_{v=0}^{N-1} \left[\left(\sum_{m=0}^{M-1} \sum_{n=0}^{N-1} F(m, n) H(u-m, v-n) \right) e^{j2\pi(\frac{ux}{M} + \frac{vy}{N})} \right] \\ &= \frac{1}{MN} \sum_{m=0}^{M-1} \sum_{n=0}^{N-1} \left[F(m, n) \left(\frac{1}{MN} \sum_{u=0}^{M-1} \sum_{v=0}^{N-1} H(u-m, v-n) e^{j2\pi(\frac{ux}{M} + \frac{vy}{N})} \right) \right] \\ &= f(x, y) h(x, y) \end{aligned}$$

4.48

直接逆变换

$$\begin{aligned}
 \mathcal{F}^{-1}(H) &= \int_{-\infty}^{\infty} \int_{-\infty}^{\infty} H(u, v) e^{j2\pi(ux+vy)} du dv \\
 &= \int_{-\infty}^{\infty} \int_{-\infty}^{\infty} A e^{j2\pi(ux+vy) - \frac{u^2+v^2}{2\sigma^2}} du dv \\
 &= A \int_{-\infty}^{\infty} \int_{-\infty}^{\infty} e^{j2\pi\left(ux - \frac{u^2}{2\sigma^2} + vy - \frac{v^2}{2\sigma^2}\right)} du dv \\
 &= A \int_{-\infty}^{\infty} \int_{-\infty}^{\infty} e^{j2\pi\left(ux - \frac{u^2}{2\sigma^2}\right)} e^{j2\pi\left(vy - \frac{v^2}{2\sigma^2}\right)} du dv \\
 &= A \int_{-\infty}^{\infty} e^{j2\pi\left(ux - \frac{u^2}{2\sigma^2}\right)} du \int_{-\infty}^{\infty} e^{j2\pi\left(vy - \frac{v^2}{2\sigma^2}\right)} dv
 \end{aligned}$$

求积分：

$$\int_{-\infty}^{\infty} e^{j2\pi\left(ux - \frac{u^2}{2\sigma^2}\right)} du = \sqrt{2\pi\sigma} e^{-2\pi^2\sigma^2 x^2}$$

带入得证

4.49

K 次处理等价于在频域中乘以 $e^{\frac{-KD^2(u,v)}{2D_0^2}}$

$$\lim_{K \rightarrow \infty} e^{\frac{-KD^2(u,v)}{2D_0^2}} = 0 \text{ or } 1$$

当且仅当 $u = v = 1$ 时取 1。随着 K 增大，图像将越来越接近于单色常值图像，且其值为灰度平均值。

4.56

$$\begin{aligned}
 &H_{LP} + H_{HP} = 1 \\
 1 - \frac{1}{1 + \left(\frac{D(u,v)}{D_0}\right)^{2n}} &= \frac{1}{1 + \left(\frac{D_0}{D(u,v)}\right)^{2n}} = H(u, v)
 \end{aligned}$$

5.21

计算 $h(x, y)$ 的傅里叶变换：

$$\begin{aligned}
\mathcal{F}(h(x, y)) &= \int_{-\infty}^{\infty} \int_{-\infty}^{\infty} h(x, y) e^{-j2\pi(ux+vy)} dx dy \\
&= \int_{-\infty}^{\infty} \int_{-\infty}^{\infty} e^{-(x-a)^2-(y-b)^2} e^{-j2\pi(ux+vy)} dx dy \\
&= \mathcal{F}_x^u(e^{-(x-a)^2}) \mathcal{F}_y^v(e^{-(y-b)^2}) \\
&= \pi e^{-\pi u(\pi u+2ja)} e^{-\pi v(\pi v+2jb)}
\end{aligned}$$

计算 $f(x, y)$ 的傅里叶变换:

$$\begin{aligned}
\mathcal{F}(f(x, y)) &= \int_{-\infty}^{\infty} \int_{-\infty}^{\infty} f(x, y) e^{-j2\pi(ux+vy)} dx dy \\
&= \int_{-\infty}^{\infty} \int_{-\infty}^{\infty} \delta(x-a) e^{-j2\pi(ux+vy)} dx dy \\
&= \int_{-\infty}^{\infty} e^{-j2\pi(ua+vy)} dy \\
&= e^{-j2\pi ua} \mathcal{F}_y^v(1) \\
&= \delta(v) e^{-j2\pi ua}
\end{aligned}$$

计算 $G(u, v) = F(u, v)H(u, v)$

$$\begin{aligned}
G(u, v) &= F(u, v)H(u, v) \\
&= \delta(v) \pi e^{-j2\pi ua} e^{-\pi u(\pi u+2ja)} e^{-\pi v(\pi v+2jb)}
\end{aligned}$$

做傅里叶逆变换得到图像

$$\begin{aligned}
\mathcal{F}^{-1}(G) &= \int_{-\infty}^{\infty} \int_{-\infty}^{\infty} G(u, v) e^{j2\pi(ux+vy)} du dv \\
&= \int_{-\infty}^{\infty} \int_{-\infty}^{\infty} \delta(v) \pi e^{-j2\pi ua} e^{-\pi u(\pi u+2ja)} e^{-\pi v(\pi v+2jb)} e^{j2\pi(ux+vy)} du dv \\
&= \pi \int_{-\infty}^{\infty} \delta(v) e^{-\pi v(\pi v+2jb)} e^{j2\pi vy} \left(\int_{-\infty}^{\infty} e^{-j2\pi ua} e^{-\pi u(\pi u+2ja)} e^{j2\pi ux} du \right) dv \\
&= \sqrt{\pi} e^{-(x-2a)^2} \int_{-\infty}^{\infty} \delta(v) e^{-\pi v(\pi v+2jb)} e^{j2\pi vy} dv \\
&= \sqrt{\pi} e^{-(x-2a)^2}
\end{aligned}$$

5.29

1. 求模糊图像的频谱图 $G(u, v)$ 中除了十字区域部分的灰度平均值
2. 构造一张图像 $f(x, y)$, 大小和模糊图像一致, 先用上一步求得到的灰度平均值填充, 然后按题干信息构造十字, 并求其频谱图 $F(u, v)$
3. 求 $H(u, v) = \frac{G(u, v)}{F(u, v)}$

6.4

在黑白相机拍摄时，分别使用能够通过 R、G、B 分量的滤波片，则在底片上出现白色显著的是对应 R、G、B 颜色的零件。

6.5

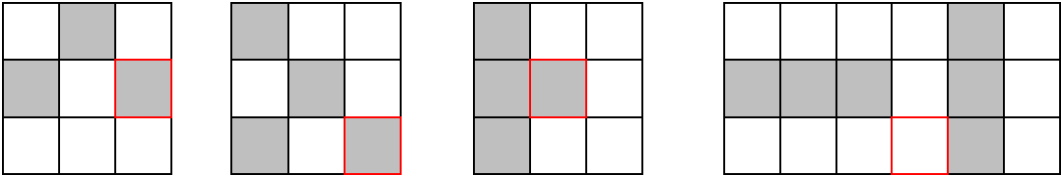
RGB=(128,255,128)，亮绿色

6.28

式子可化为 $0.125r^2 + g^2 + b^2 = D_0$ ，即一个 RGB 空间的椭球面

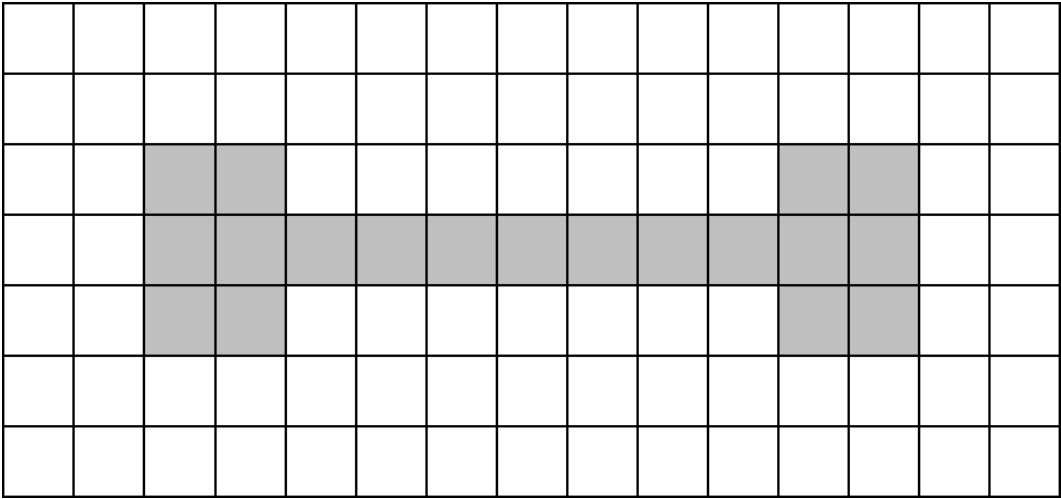
9.1

如下图所示



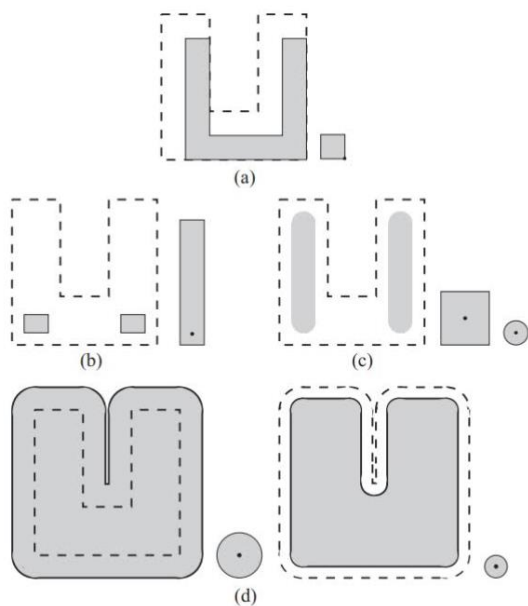
9.2

(a)(b)(c)结果相同，如下图：



9.8

如下图所示，(a)采用方型核腐蚀；(b)采用长条核腐蚀；(c)先用一个大方核腐蚀，再用一个小圆核膨胀；(d)先采用一个大圆核膨胀，再用一个小圆核腐蚀。



9.30

通过轮廓检测判断图像是否具有闭合轮廓，有轮廓的是 **Lake**；没有轮廓的图形为 **Bay** 或 **Line**，连接图形的端点，如果连线与图形的交点只有这两个端点，则是 **Bay**，否则是 **Line**。

或者使用行扫描，根据每行的像素累计值也可以区分三种图形。

9.37

s1 拷贝待提取图像

s2 在待提取图像中任选一个像素值为 1 的点，提取其连通域

s3 拷贝到待提取图像的备份中，然后在待提取图像中把该连通域置 0

s4 循环 s2 与 s3，直到待提取图像完全置 0

10.3

3x3 kernels 如下所示：

水平：

0	0	0
1	-2	1
0	0	0

垂直：

0	1	0
0	-2	0
0	1	0

45°：

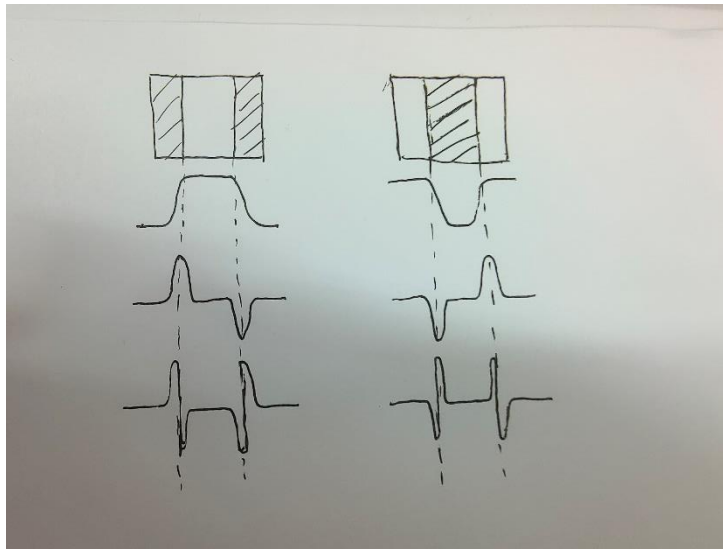
0	0	1
0	-2	0
1	0	0

-45°：

1	0	0
0	-2	0
0	0	1

10.9

如图所示



10.26

(1) 由于 $x=0, y=0$, 则 $\rho=0$, $\theta=\text{any}$ 因此是一条横向直线。

(2) 是的。原因: (x, y) 不为 $(0, 0)$ 时, $\rho = x\cos\theta + y\sin\theta$, 对于确定的 x, y 而言, ρ, θ 满足三角函数关系。

(3) $\rho = x\cos\theta + y\sin\theta$, 当 $\theta = \pm 90^\circ$, $\rho = \pm y$, 因此 reflective adjacent.

11.3

(c) 寻找归一化链码就是把链码看成一个自然数, 找到这个自然数按顺序排列的最小值。链码 11076765543322 的排列为 07676554332211 时, 其值最小, 因此是归一化链码, 归一化起点为 0.

11.4

(b) 0101030303323232212111 应当看作循环码, 则起始差分是最后一位与第一位的差分。一次差分: 3131331313031313031300。

其它问题

圆检测方法

思路一：使用标准霍夫圆检测，将平面上所有非零像素点坐标(x,y)投影到三维参数空间(a,b,r)上，参数空间的圆之间相交时，交点的次数超过阈值时，认为该交点是平面上一个圆的参数。这种方法比较慢。

思路二：参考 OpenCV 内置的霍夫梯度检测原理，使用 Canny 检测平面上的边缘，然后使用 Sobel 算子计算各边缘点上的梯度，根据梯度求直线，当所有边缘点的梯度上的直线交于某个点的次数超过阈值时，认为该交点是一个圆心，并采用投票法，将出现次数最多的距离作为圆的半径。这种方法比较快，但容易受到图像噪声的影响。

边缘检测 Roberts, Perwitt, Laplacian, Sobel, Canny 的代码(python opencv):

```
1. import cv2
2. import numpy as np
3.
4.
5. def edge_Roberts(img):
6.     # Roberts 算子
7.     kernelx = np.array([[ -1, 0], [0, 1]], dtype=int)
8.     kernely = np.array([[0, -1], [1, 0]], dtype=int)
9.
10.    x = cv2.filter2D(img, cv2.CV_16S, kernelx)
11.    y = cv2.filter2D(img, cv2.CV_16S, kernely)
12.
13.    X = cv2.convertScaleAbs(x)
14.    Y = cv2.convertScaleAbs(y)
15.    img_roberts = cv2.addWeighted(X, 0.5, Y, 0.5, 0)
16.    return img_roberts
17.
18.
19. def edge_Prewitt(img):
20.     # Prewitt 算子
21.     kernelx = np.array([[1, 1, 1], [0, 0, 0], [-1, -1, -
22.         1]], dtype=int)
23.     kernely = np.array([[ -1, 0, 1], [-1, 0, 1], [-
24.         1, 0, 1]], dtype=int)
25.
26.
27.     # 转 uint8 ,图像融合
```

```
28.     X = cv2.convertScaleAbs(x)
29.     Y = cv2.convertScaleAbs(y)
30.     img_prewitt = cv2.addWeighted(X, 0.5, Y, 0.5, 0)
31.     return img_prewitt
32.
33.
34. def edge_Sobel(img):
35.     # Sobel 算子
36.     x = cv2.Sobel(img, cv2.CV_16S, 1, 0)
37.     y = cv2.Sobel(img, cv2.CV_16S, 0, 1)
38.
39.     # 转 uint8 ,图像融合
40.     X = cv2.convertScaleAbs(x)
41.     Y = cv2.convertScaleAbs(y)
42.     img_sobel = cv2.addWeighted(X, 0.5, Y, 0.5, 0)
43.     return img_sobel
44.
45.
46. def edge_laplace(img):
47.     # Laplacian
48.     dst = cv2.Laplacian(img, cv2.CV_16S, ksize=3)
49.     img_laplace = cv2.convertScaleAbs(dst)
50.     return img_laplace
51.
52.
53. def edge_canny(img):
54.     # Canny
55.     dst = cv2.Canny(img, 45, 90)
56.     img_canny = dst
57.     return img_canny
58.
59.
60. if __name__ == "__main__":
61.     img = cv2.imread('lena.jpg')
62.     img_gray = cv2.cvtColor(img, cv2.COLOR_BGR2GRAY)
63.     ret, img_thres = cv2.threshold(img_gray, 100, 255, cv2.THRESH_BINARY)
64.     img_thres = img_gray
65.
66.     img_roberts = edge_Roberts(img_thres)
67.     img_prewitt = edge_Prewitt(img_thres)
68.     img_sobel = edge_Sobel(img_thres)
69.     img_laplace = edge_laplace(img_thres)
70.     img_canny = edge_canny(img_thres)
```

```
71.     cv2.imshow('img_roberts', img_roberts)
72.     cv2.imshow('img_prewitt', img_prewitt)
73.     cv2.imshow('img_sobel', img_sobel)
74.     cv2.imshow('img_laplace', img_laplace)
75.     cv2.imshow('img_canny', img_canny)
76.     cv2.waitKey(0)
```